

حل السؤال الأول: (40 درجة)

1. وضح بشكل مختصر ودقيق كيف يمكن أن يكون لمكان تركيب **الحساسات الدورانية والخطية** ضمن السلسة الكينماتيكية للمحور أو ميكانيزم آلة تشغيل مبرمج تأثيراً مباشراً في التغلب على بعض الأخطاء الهندسية الممكن تواجدها في الميكانيزم والتي تعد بمثابة مشوش لقراءة الحساس.

تبعاً لمكان تثبيت حساس الموضع ضمن السلسلة الكينماتيكية للمحور أو الميكانيزم ، فإنه يمكننا التغلب على بعض الأخطاء الهندسية الممكن تواجدها في الميكانيزم والتي تعد بمثابة مشوش لقراءة الحساس.

- **تموضع الحساس على محرك المحور :**

في حالة القياس يتم انطلاقاً من محور المحرك، فإنه لا يأخذ في هذه الحالة بعين الاعتبار :

- الخلوص (اللعب) في مخفض السرعة.
- أخطاء المخفض.
- خطأ خطوة اللولب الكروي (لولب القوة) و الناتج عن التصنيع.
- الخطأ الناتج عن تشوه لولب القوة عند التحميل.
- خطأ صامولة اللولب.

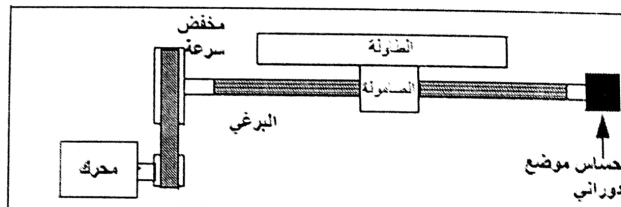
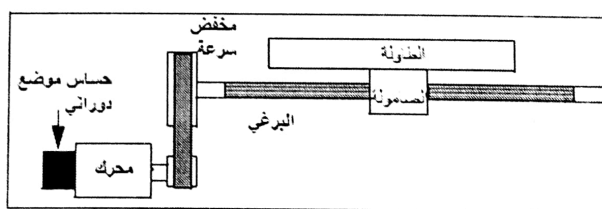
- **تموضع الحساس على محور اللولب :**

في حال تثبيت الحساس الدوراني على محور اللولب تماماً، فإن الحساس لن يأخذ بعين الاعتبار :

- خطأ خطوة اللولب.
- خطأ تشوه اللولب.
- خطأ صامولة اللولب.

وأخيراً تموضع الحساس على الجزء المتحرك (طاولة التشغيل) :

يعد هذا الحل مثالياً من الناحية الهندسية، و لكنه يعد باهظ الثمن.



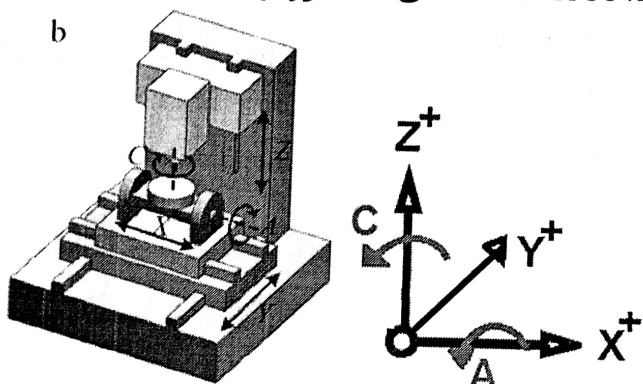
مكان تثبيت حساس الموضع

2. من أجل الفارزة المُبرمجة الموضحة بالشكل (1)، يطلب تحديد نوعها، وعدد الأجسام الصلبة الأساسية للألة وعدد الأحداثيات المعممة.
- تحديد نوعها من حيث التركيب الهندسي RRTTT وعدد الأجسام الصلبة الأساسية للألة 6 .
وعدد الأحداثيات المعممة 5 .

$$DOF = q_i = 5$$

$$S = (DOF + 1) = (q_i + 1) = 6$$

3. اعتماداً على المعيار ISO841 حدد منحى المحاور الإحداثية (الانسحابية والدورانية).



$RRTTT \Leftrightarrow CAYXZ$ لدينا: دوران C حول المحور Z + دوران A حول المحور X + ثلاث انتقالات

4. حساب النموذج الحركي المباشر للألة $(O_0 O_s)_0$ ، اعتبار أن المسافة من النقطة 00 مرکز جملة الأحداثيات (R0) حتى المركز O1 هي (d_z) مع الانتباه للاتجاه.

$$\begin{bmatrix} S_0 \\ S_1 \end{bmatrix} \rightarrow q_1 \xrightarrow{R,C^z} C$$

$$\begin{bmatrix} S_1 \\ S_2 \end{bmatrix} \rightarrow q_2 \xrightarrow{R,A^x} A$$

$$\begin{bmatrix} S_2 \\ S_3 \end{bmatrix} \rightarrow q_3 \xrightarrow{T,y} Y$$

$$\begin{bmatrix} S_3 \\ S_4 \end{bmatrix} \rightarrow q_4 \xrightarrow{T,x} X$$

$$\begin{bmatrix} S_4 \\ S_5 \end{bmatrix} \rightarrow q_5 \xrightarrow{T,z} Z$$

$$(0,1) = \begin{bmatrix} \cos(C_{ref} + q_1) & -\sin(C_{ref} + q_1) & 0 \\ \sin(C_{ref} + q_1) & \cos(C_{ref} + q_1) & 0 \\ 0 & 0 & 1 \end{bmatrix}$$

$$(1,2) = \begin{bmatrix} 1 & 0 & 0 \\ 0 & \cos(A_{ref} + q_2) & -\sin(A_{ref} + q_2) \\ 0 & \sin(A_{ref} + q_2) & \cos(A_{ref} + q_2) \end{bmatrix} \& \cos(C_{ref} + q_1) = c_1; \sin(C_{ref} + q_1) = s_1 \\ \cos(A_{ref} + q_1) = c_2; \sin(A_{ref} + q_1) = s_2$$

$$(0,2) = (0,1) \times (1,2) = \begin{bmatrix} c_1 & -s_1 \cdot c_2 & s_1 \cdot s_2 \\ s_1 & c_1 \cdot c_2 & -c_1 \cdot s_2 \\ 0 & s_2 & c_2 \end{bmatrix}$$

$$(\overrightarrow{z_5})_{(0)} = \begin{bmatrix} \sin(C_{ref} + q_1) \cdot \sin(A_{ref} + q_2) \\ -\cos(C_{ref} + q_1) \cdot \sin(A_{ref} + q_2) \\ \cos(A_{ref} + q_2) \end{bmatrix}$$

$$\overrightarrow{O_0 O_1} = L \cdot \overrightarrow{z_0}$$

$$(\overrightarrow{O_2 O_5})_{(2)} = \begin{bmatrix} X_{ref} + q_4 \\ Y_{ref} + q_3 \\ Z_{ref} + q_5 \end{bmatrix}$$

$$(\overrightarrow{O_0 O_5})_{(0)} = (\overrightarrow{O_0 O_1})_{(0)} + (0,2) \times (\overrightarrow{O_2 O_5})_{(2)}$$

$$(\overrightarrow{O_0 O_5})_{(0)} = \begin{bmatrix} 0 \\ 0 \\ -d_z \end{bmatrix} + \begin{bmatrix} c_1 & -s_1 \cdot c_2 & s_1 \cdot s_2 \\ s_1 & c_1 \cdot c_2 & -c_1 \cdot s_2 \\ 0 & s_2 & c_2 \end{bmatrix} \times \begin{bmatrix} X_{ref} + q_4 \\ Y_{ref} + q_3 \\ Z_{ref} + q_5 \end{bmatrix}$$

5. حساب النموذج الحركي العكسي للألة معتبراً $(\overrightarrow{Z_5})_{(0)}$ بشكل ومقترضاً

مشابه.

$$(\overrightarrow{Z_5})_{(0)} = \begin{bmatrix} \sin(C_{ref} + q_1) \cdot \sin(A_{ref} + q_2) \\ -\cos(C_{ref} + q_1) \cdot \sin(A_{ref} + q_2) \\ \cos(A_{ref} + q_2) \end{bmatrix} = \begin{bmatrix} d_4 \\ d_5 \\ d_6 \end{bmatrix}$$

$$q_1 = \arcsin \left[\frac{d_4}{\sin(A_{ref} + q_2)} \right] - C_{ref}$$

$$q_1 = \arccos \left[\frac{-d_5}{\sin(A_{ref} + q_2)} \right] - C_{ref}$$

$$q_2 = \arccos(d_6) - A_{ref}$$

$$(\overrightarrow{O_0 O_5})_{(0)} = \begin{bmatrix} 0 \\ 0 \\ -d_z \end{bmatrix} + \begin{bmatrix} c_1 & -s_1 \cdot c_2 & s_1 \cdot s_2 \\ s_1 & c_1 \cdot c_2 & -c_1 \cdot s_2 \\ 0 & s_2 & c_2 \end{bmatrix} \times \begin{bmatrix} X_{ref} + q_4 \\ Y_{ref} + q_3 \\ Z_{ref} + q_5 \end{bmatrix} = \begin{bmatrix} d_1 \\ d_2 \\ d_3 \end{bmatrix}$$

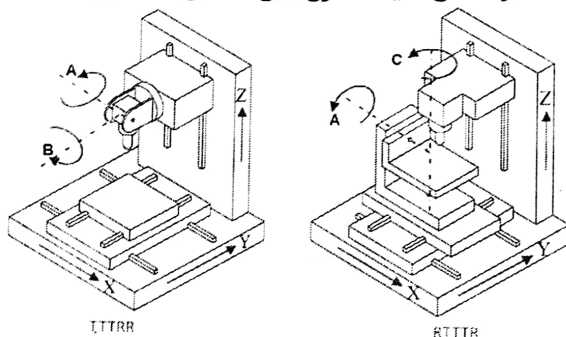


$$\begin{bmatrix} c_1 & -s_1 \mathcal{L}_2 & s_1 s_2 \\ s_1 & c_1 \mathcal{L}_2 & -c_1 s_2 \\ 0 & s_2 & c_2 \end{bmatrix} \times \begin{bmatrix} X_{ref} + q_4 \\ Y_{ref} + q_3 \\ Z_{ref} + q_5 \end{bmatrix} = \begin{bmatrix} d_1 \\ d_2 \\ d_3 + d_z \end{bmatrix}$$

$$\begin{bmatrix} X_{ref} + q_4 \\ Y_{ref} + q_3 \\ Z_{ref} + q_5 \end{bmatrix} = \begin{bmatrix} c_1 & -s_1 & 0 \\ s_1 \mathcal{L}_2 & c_1 \mathcal{L}_2 & -s_2 \\ s_1 s_2 & c_1 s_2 & c_2 \end{bmatrix} \times \begin{bmatrix} d_1 \\ d_2 \\ d_3 + d_z \end{bmatrix}$$

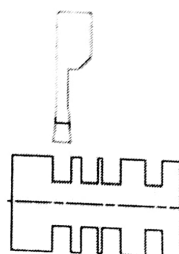
$$\begin{bmatrix} q_4 \\ q_3 \\ q_5 \end{bmatrix} = \begin{bmatrix} c_1 & -s_1 & 0 \\ s_1 \mathcal{L}_2 & c_1 \mathcal{L}_2 & -s_2 \\ s_1 s_2 & c_1 s_2 & c_2 \end{bmatrix} \times \begin{bmatrix} d_1 \\ d_2 \\ d_3 + d_z \end{bmatrix} - \begin{bmatrix} X_{ref} \\ Y_{ref} \\ Z_{ref} \end{bmatrix}$$

في الشكل (2) وضح بشكل مبسط الفرق من حيث النوع بين هاتين الفارزتين :



حل السؤال الثاني : (20 درجة)

تستخدم الحلقات Cycles في عمليات التشغيل المبرمج بهدف تسهيل عمليات البرمجة للمهام التكرارية و خاصة في عمليات الخراطة المبرمجة، **و المطلوب :** اشرح مستعيناً بالرسم والأمثلة البرمجية البسيطة والواضحة طريقة برمجة: ■ عمليات فتح المجرى (الأخداد) ■ و عمليات فتح القلوب الاحترافية بالخراطة.



• حلقة فتح الأخداد G75

G75 GROOVING CYCLES

الصيغة البرمجية : $N_G75\ X_Z_F_I_K_$
يستخدم الأمر G75 لتشغيل الأخداد في عملية الخراطة كما هو موضح بالشكل 15، حيث أن :

X : قدر الأخدود. (البرجة باستخدام القطر).

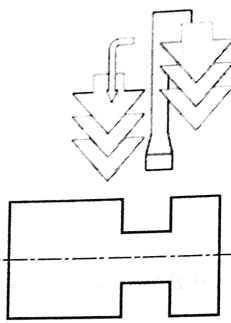
Z : بعد حافة الأخدود الميسارية على المحور Z .

F : مقدار التراجع النسبي (على المحور X).

D : المحقق (offset X).

K : الحركة (الخطوة) بالاتجاه Z .

I : الحركة (الخطوة) بالاتجاه X . و تدل على عمق القطع للشوط الواحد قبل تنفيذ التراجع.



الشكل، حلقة فتح المجرى بالخرطة G75

مثال :

N25 G75 X0,25 Z-0,75 F0,125 I0,125 K0,125

ملاحظة : كما هو موضح في المثال السابق فإن الرمز F مجوز لتحديد مقدار الارتفاع أو التراجع النسبي، وبالتالي فإن التعذية في هذه الحلقة يتم تحديدها اعتماداً على آخر تعذية تم اعتمادها في البرنامج.

مثال : يبين استخدام الأمر G75 ، اسم المثال G75EX75

Workpiece Size : Length 4", Diameter 1"

Tool : Tool #5, Grooving Tool

Tool Start Position : X2, Z3

%

: 1075

N5 G90 G20

N10 T0505 F0.015

N15 M03

N20 G00 Z-0.5 M08

N25 X1.2

N30 G75 X0.5 Z-0.75 F0.125 D0 I0.125 K0.125

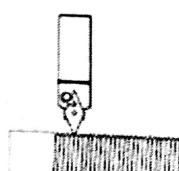
N35 G00 X4

(Grooving cycle)

N40 Z3 M09

N45 T0500 M05

N50 M30



G76 THREADING CYCLES

▪ حلقة قطع القلوظ G76 :

الصيغة البرمجية : **N_G76 X_Z_D_K_A_F**
يقوم الأمر G76 بتنفيذ جميع عمليات قطع القلوظ و يكون على شكل حلقة Cycle، يتم فيها تغيير عمق القطع آلياً وكذلك توليد مسارات التشغيل بشكل آلي. يتم توصيف الأمر G76 باستخدام عدة أحرف للعنونة هي :

X : القطر الأصغر للسن.

Z : الموضع عند نهاية السن.

D : عمق القطع للشوط الأول مقدراً بأجزاء الآلوف (يقوم المتحكم بحساب عدد الأشواط بناء على عمق الشوط الأول).

K : عمق السن.

p : خطوة السن (خطوة السن تساوي مقلوب عدد الأسنان بالانش الواحد في حالة الأسنان الانثية و تساوي المسافة بين قمتي سنين متتالين في حالة الأسنان الميليمترية).

A : زاوية الحد القاطع للأداة. (في حالة ادخال زاوية الحد القاطع، فإن الأداة ستستمر بالقطع باستخدام الحافة القاطعة الرئيسية للأداة Leading Edge of the Tool. و في حالة عدم ادخالها فإن الحد القاطع سيقوم بالقطع من الجهةين).
مثال :

N25 G76 X0,5 Z-1.0 D625 K0,25 A55 F0,1

ان قيمة D تحدد عمق القطع لكل شوط، و تحدد القيمة K عمق القطع الكلي. ان القيمة A تحدد زاوية الحد القاطع، و تحدد قيمة F الخطوة الانثية.
مثال : يبين استخدام الأمر G76، اسم المثال G76EX76

Workpiece Size : Length 4", Diameter 1"

Tool : Tool #6, Neutral Tool

Tool Start Position : X2, Z3

%

: 1076

N5 G90 G20

N10 T0606 M08

N15 M03

N20 G00 X1

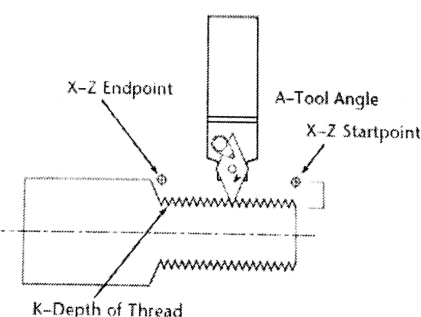
N25 Z0.1

N25 G76 X0.96 Z-2 D625 K0.125 A55 F0.1 (Threading cycle)
N30 G00 X4

N35 Z3 M09

N35 T0600 M05

N40 M30



الشكل، نقطة البدء Startpoint و نقطة الانتهاء Endpoint في حلقة قطع السن G76

حل السؤال الثالث: (20 درجة)

يُراد إنجاز عملية خراطة مبرمجة للمحور المتدرج الموضح بالشكل (3). فإذا علمت أن عملية الخراطة المبرمجة تتم على مراحلتين : الأولى تخشينية تهدف إلى إزالة أكبر كمية من المعدن بأقل زمن ممكن و تتم على الغفل ذو القطر "4 = φ" بحيث يتم ترك سماكة للإناء بمقدار "T02 = W = U = 0.05" و الثانية تنعيمية حيث يتم فيها إنجاز عملية الإناء بالخراطة باستخدام أداة قطع مخصصة للإناء T02. و المطلوب :

1. جدول الاحداثيات :

#	X	Z
1	0	0
2	0.6	0
3	1	-0.2
4	1	-0.7
5	1.6	-1
6	1.8	-1
7	2	-1.1
8	2	-1.9
9	2.2	-2
10	2.6	-2
11	3	-2.6
12	3	-3
13	3.4	-3
14	3.4	-3.05
15	3.5	-4
16	4	-4

2. برنامج التشغيل:

Workpiece Size: 4" Diameter by 5" Length

Tools: Tool #1, Right-hand Turning Tool

Tool #2, Right-hand Finishing Tool

Tool Start Position: X4, Z3

نقطة بدء اختيارية للأداة خارج المادة

%

:1088

N5 G90 G20 G40

N10 T0101 M07

N15 M03S1000

N20 G00 Z0.2 M08

N25 G71 P30 Q105 U0.05 W0.05 D833 F0.011

N30 G01 X0 Z0

N35 X0.6

N40 X1 Z-0.2

N45 Z-0.7

N50 G02 X1.6 Z-1 I0.3 K0

N55 G01 X1.8
N60 X2 Z-1.1
N65 Z-1.9
N70 G02 X2.2 Z-2 I0.1 K0
N75 G01 X2.6
N80 X3 Z-2.6
N85 Z-3
N90 X3.4
N95 G03 X3.5 Z-3.05 I0 K-0.05
N100 G01 Z-4
N105 X4

N110 G00 Z5 T0100
N115 T0202
N120 G00 Z0.2
N121 M03S1750

N125 G70 P30 Q105 F0.011

N130 G00 Z3 M09
N135 T0200 M05
N140 M30

3. يعد التباعد بالقياس ما بين الأبعاد المحددة في برنامج التشغيل المبرمج و الأبعاد المقاسة من الأمور الشائعة في عمليات التشغيل المبرمج. إن ضبط هذه التبعادات و حصرها ضمن مجال التفاوتات الهندسية المسماة يتطلب التحقق من الأمور التالية و التي تعد المنشآت الأساسية لهذه التبعادات وهي :
- المعايرة الغير دقيقة للأداة، و الذي من شأنه النسب بخلاف الأقطار و لكن بشكل متساو لأجل جميع الأقطار.
 - تأكل أداة القطع و بالتحديد أنف الحد القاطع. و هنا فإنه يجب الإشارة إلى استخدام أداة قطع مخصصة للإنهاء.
 - ضعف في جسماء آلة التشغيل المبرمج. و هنا فإنه يتوجب علينا الاقلال من عمق القطع لشوط الانهاء و رفع سرعة الدوران و خفض معدل التغذية.
 - ان استخدام أدوات قطع للإنهاء ذات أنف مستدير يزيد من الضغط النوعي على السطح المشغل حتى يتم عملية القطع، و بالتالي ان الاقلال لحد كبير من عمق القطع بالإنهاء يؤدي لعدم دقة في الأسطح المشغلة.

-انتهت السلم-

د.م. معن الحصريه & د.م. المهند مكي

2024/8/5